



770-N  
0.5.

Library of the Museum  
OF  
COMPARATIVE ZOÖLOGY,  
AT HARVARD COLLEGE, CAMBRIDGE, MASS.  
Founded by private subscription, in 1861.  
.....  
DR. L. DE KONINCK'S LIBRARY.  
*No. 2286.*

Order of pl. 10-12 reversed.

pl 1, 4, 6 false wrong way



**DESCRIPTION**  
**D'UN NOUVEAU GENRE D'ÉDENTÉ FOSSILE**

RENFERMANT

PLUSIEURS ESPÈCES VOISINES DU GLYPTODON

---

**ATLAS**

---

OUVRAGE PUBLIÉ PAR L'ACADÉMIE DES SCIENCES, ARTS ET BELLES-LETTRES DE DIJON

*AVEC LE CONCOURS DU CONSEIL MUNICIPAL DE LA MÊME VILLE*

**PAR L. NODOT**

Directeur du Musée d'Histoire naturelle de Dijon, membre résidant de l'Académie des Sciences, Arts et Belles-Lettres de la même ville  
et de plusieurs autres Académies et Sociétés savantes nationales et étrangères.



# Explication des Figures.

## Planche 1.

Schistopleurum typus, L. Nod., vu de profil. Les parties au trait sont artificielles; celles ponctuées restent inconnues. Dans cette figure, le dessinateur n'a point assez fait sentir le huitième segment formant la séparation du bouclier antérieur avec les sept bandes ou anneaux rudimentaires.

## Planche 2.

Fig. 1. Carapace du schistopleurum typus vue par devant. — Fig. 2. La même vue par derrière. — Fig. 3. La même vue par le dos, pour montrer la forme globulaire dissymétrique et celle de la partie restaurée. — Fig. 4. Les cinq anneaux entiers, vus en dessus, de la queue du schistopleurum typus. — Fig. 5. Les mêmes vus en dessous.

## Planche 3.

Fig. 1. Quatre osselets du dos de la carapace du schistopleurum typus. — Fig. 2. Trois osselets de la partie supéro-postérieure de la carapace du même animal. — Fig. 3. Trois osselets de la partie antéro-supérieure du même. — Fig. 4. Portion au trait de la partie inférieure et latérale postérieure, pour montrer l'agencement des tubercules marginaux du bouclier postérieur avec les deux osselets et les diverses modifications de ces derniers dans leurs formes, selon la place qu'ils occupent.

## Planche 4.

Glyptodon clavipes, Ow., vu de profil, figure reproduite d'Owen.

## Planche 5.

Fig. 1. Carapace du glyptodon clavipes vue par le dos. — Fig. 2. La même vue par devant. — Fig. 3. La même vue par derrière. — Fig. 4. Une vertèbre de la queue du même animal. (*a.* Le corps de la vertèbre. — *b.* Apophyse épineuse. — *c.* Apophyse épineuse inférieure restaurée au pointillé; les saillies centrales indiquent l'existence et le volume de l'arc osseux qui protégeait les vaisseaux sanguins de la queue. — *d.* Apophyses supérieures transverses qui se rattachent à l'apophyse supérieure. — *e.* Apophyses inférieures transverses qui se continuent avec le centre. — *f.* Bord antérieur libre de la carapace osseuse de la queue.) — Fig. 5. Surface inférieure de l'extrémité de la queue. — Fig. 6. Surface supérieure. — Fig. 7. Extrémité de la queue. — Ces figures sont reproduites d'Owen.

## Planche 6.

Fig. 1. Crâne du glyptodon clavipes vu par sa surface supérieure. — Fig. 2. Le même vu par sa surface inférieure. — Ces figures sont de demi-grandeur et sont reproduites d'Owen.

## Planche 7.

Fig. 1. Profil de la mâchoire inférieure du schistopleurum typus, réduite au sixième. — Fig. 2. Mâchoire inférieure de l'apar, grandeur naturelle. — Fig. 3. Mâchoire inférieure du cachicame, grandeur naturelle. — Fig. 4. Plaque sternale du schistopleurum typus avec ses deux côtes, réduite au sixième. — Fig. 5. Plaque sternale du cachicame, montrant la forme des clavicules et la place où elles s'articulent; grandeur naturelle. — Fig. 6. Plaque sternale de la gerboise de Barbarie, montrant sa ressemblance avec les os correspondants chez le schistopleurum typus; grandeur naturelle. — Fig. 7. Radius du schistopleurum typus, réduit au sixième. — Fig. 7 bis. Facette articulaire supérieure du même os. — Fig. 8. Radius de l'oryctérope, réduit au tiers. — Fig. 8 bis. Le même, pour montrer sa parfaite ressemblance avec le même os chez le schistopleurum. — Fig. 9. Profil de la phalange onguéale du pied antérieur du sanglier, grandeur naturelle. — Fig. 9 bis. La même phalange vue par sa facette articulaire. — Fig. 10. Profil de phalange du pied antérieur du schistopleurum typus, grandeur naturelle. — Fig. 10 bis. La même vue en dessous, pour montrer la forme de la pelotte osseuse et la concavité de l'ongle qui recouvrait l'os. — Fig. 11. La même vue par sa facette articulaire. — Fig. 12. La même surface chez le sanglier. — Fig. 13. Profil de phalange onguéale du pied antérieur de l'oryctérope, grandeur naturelle. — Fig. 14. Le même os vu par sa facette articulaire. — Fig. 15. Le même vu en dessous, pour montrer que toutes ses faces ressemblent à celles du schistopleurum et sont très-différentes de celles des pachydermes ordinaires (le sanglier). — Fig. 16. Le fémur gauche du schistopleurum typus vu par devant. — Fig. 17. Le même os montrant ses facettes articulaires inférieures.

## Planche 8.

Fig. 1. Portion postéro-supérieure du schistopleurum gemmatum, L. Nod., réduite au sixième, reproduite de l'Ostéographie de M. de Blainville. — Fig. 2. La même pièce vue en face, pour montrer la forme variée et la place des tubercules supplémentaires au pourtour de l'ouverture caudale de la carapace des schistopleurums. — Fig. 3. Pièce indéterminée de la queue d'un glyptodon. —

Fig. 4. Premier échantillon : Pièce terminale de la queue d'un glyptodon. — Fig. 5 et 5 bis. Deuxième échantillon. — Fig. 6. Troisième échantillon : Queue d'hopliphorus reproduite de l'*Ostéographie*. — Fig. 7. Quatrième échantillon : Queue d'hopliphorus. — Fig. 8. La même vue de profil. — Fig. 9. La même vue par son extrémité supérieure.

#### Planche 9.

Fig. 1. Plaque de la partie supéro-antérieure de la carapace du schistopleurum tuberculatum, L. Nod.; grandeur naturelle. — Fig. 2. Son épaisseur. — Fig. 3. Plaques tétraogonales de la même carapace prises sur la partie latérale inférieure, où l'on aperçoit le commencement des segmentations. — Fig. 4 et 5. Deux osselets de profil de ces mêmes segments, pour montrer leur imbrication les uns sur les autres et la distance extrême qui les sépare. — Fig. 6. Osselets du dos de la même carapace réduits au sixième, reproduits de l'*Ostéographie*. — Fig. 7. Un osselet isolé du dos du même animal, grandeur naturelle. — Fig. 8. Cinq osselets du dos de l'apar, pour faire voir leur grande ressemblance avec ceux correspondants du schistopleurum tuberculatum. — Fig. 9. Trois osselets de grandeur naturelle appartenant à la partie inférieure de l'ouverture caudale ou postérieure de la carapace du schistopleurum tuberculatum. — Fig. 10. La même pièce vue de profil, pour montrer la hauteur des saillies coniques et les aspérités des sutures de la face inférieure.

#### Planche 10.

Fig. 1. Pièce de grandeur naturelle de la partie antéro-supérieure de la carapace du glyptodon reticulatus, Ow. — Fig. 1 bis. La même réduite au sixième, reproduite de l'*Ostéographie*. — Fig. 2. Son épaisseur. — Fig. 3. Un osselet de glyptodon Owenii, L. Nod., grandeur naturelle. — Fig. 4. Un osselet correspondant du glyptodon clavipes, Ow. — Fig. 5. Epaisseur de ces deux osselets. — Fig. 6. Glyptodon elevatus, L. Nod., grandeur naturelle. — Fig. 7. Une carapace presque entière du même animal, réduite au sixième. — Fig. 8. Epaisseur de la même.

#### Planche 11.

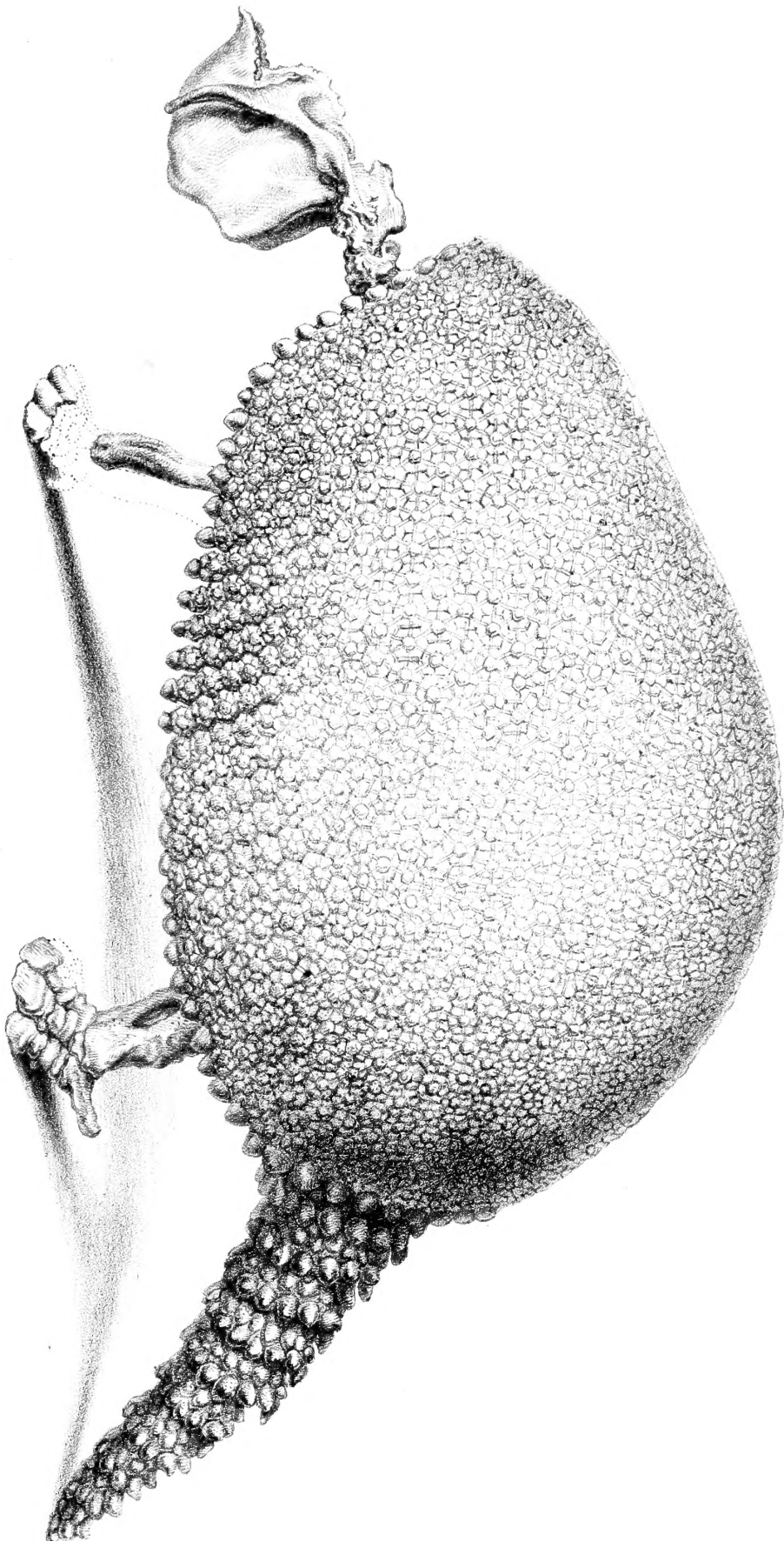
Fig. 0. Glyptodon reticulatus, Ow.; pièce prise sur la partie dorsale de la carapace, reproduite d'Owen. — Fig. 1. Fragment de carapace du glyptodon subelevatus, L. Nod., grandeur naturelle. — Fig. 2. Son épaisseur. — Fig. 3. Glyptodon gracilis, L. Nod., grandeur naturelle. — Fig. 4. Son épaisseur. — Fig. 5. Grand fragment de la même carapace réduit au sixième, reproduit de l'*Ostéographie*. — Fig. 6. Deux osselets de grandeur naturelle du glyptodon ornatus, Ow., reproduits d'après Owen.

#### Planche 12.

Fig. 1, 2 et 3. Tubercules supplémentaires, de diverses formes, qui s'appliquent sous la série des gros tubercules qui bordent l'ouverture caudale de la carapace du schistopleurum typus; grandeur naturelle. — Fig. 5. Osselets de glyptodon quadratus, L. Nod., réduits au sixième, reproduits de l'*Ostéographie*. — Fig. 6. Glyptodon verrucosus, L. Nod.; pièce prise sur la partie supérieure de la carapace. — Fig. 7. Autre pièce du même prise sur la partie latérale; l'une et l'autre réduites au sixième et reproduites de l'*Ostéographie*. — Fig. 8, 9, 10, 11, 12 et 13. Diverses pièces provenant des bandes de plusieurs espèces de carapaces d'armadillos non encore déterminées, reproduites aussi de l'*Ostéographie*. — Fig. 14. Pied postérieur incomplet (il lui manque les deux doigts internes) du schistopleurum typus, L. Nod., vu en dessus. — Fig. 15. Le même vu en dessous. — Fig. 16. Pied antérieur incomplet du glyptodon clavipes, reproduit d'Owen. — Fig. 17. Tibia et péroné du schistopleurum typus, soudés et vus par devant. — Fig. 18. Les mêmes vus de profil. — Fig. 19. Les mêmes vus par leur articulation inférieure. — Fig. 20. Les mêmes vus par leur facette articulaire supérieure.

FIN DE L'ATLAS.

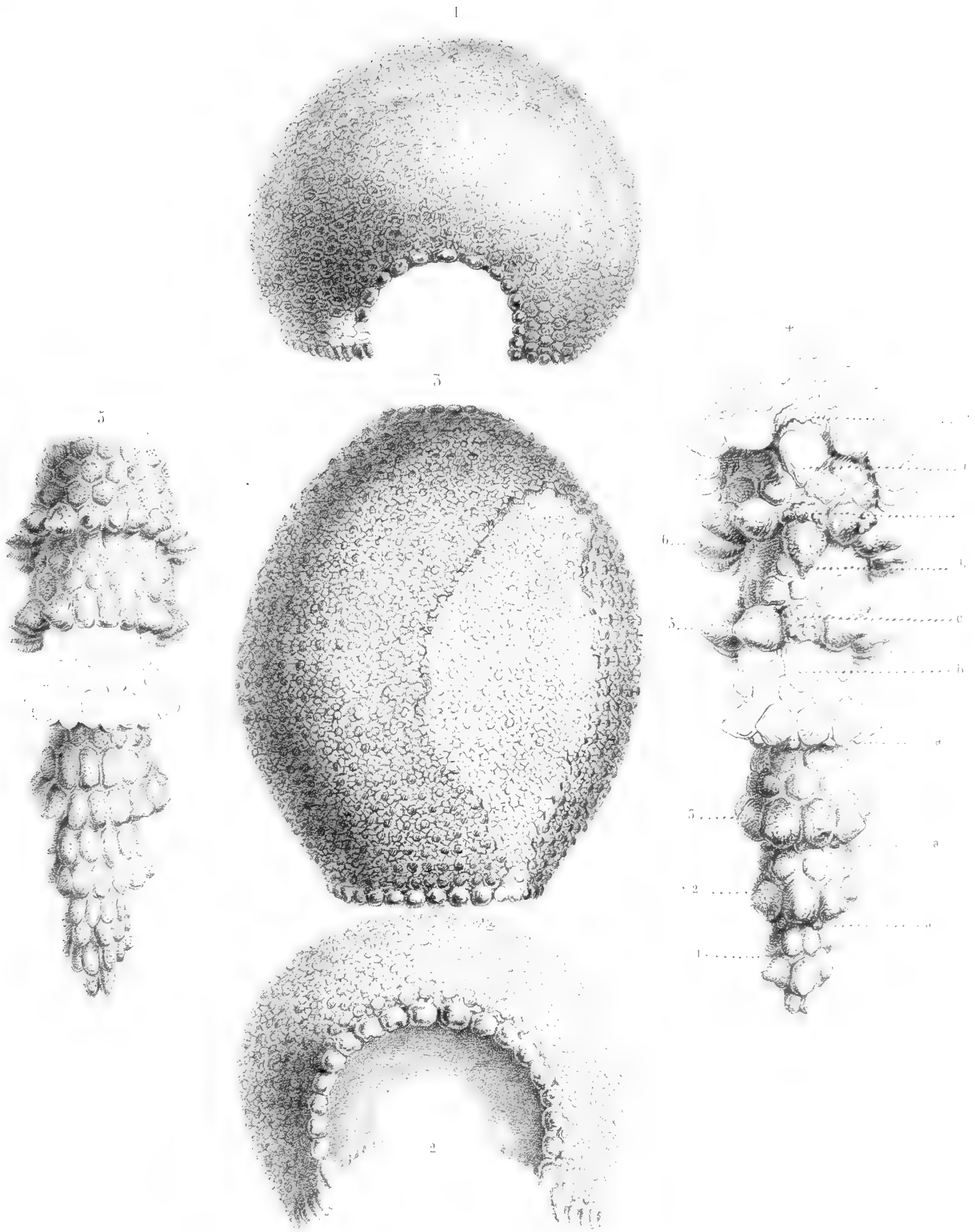
PL I



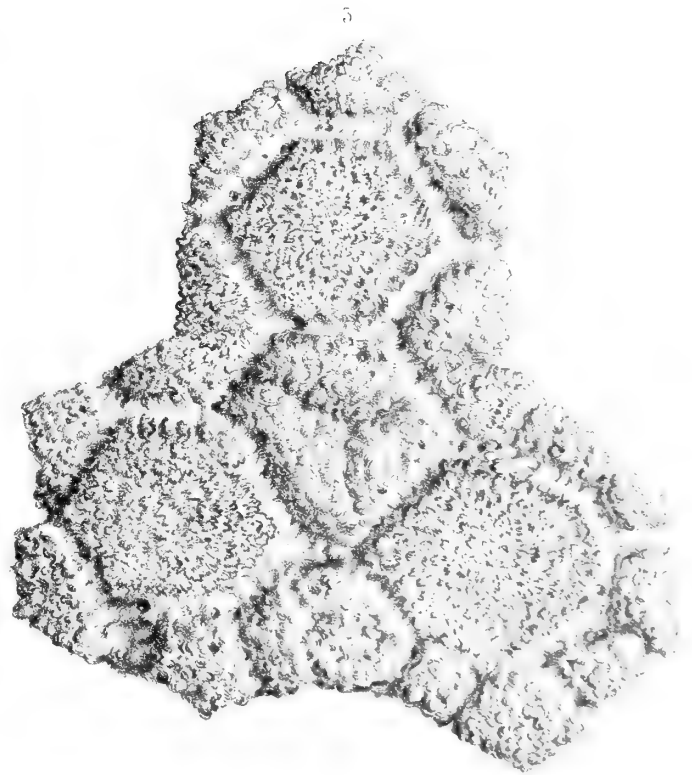
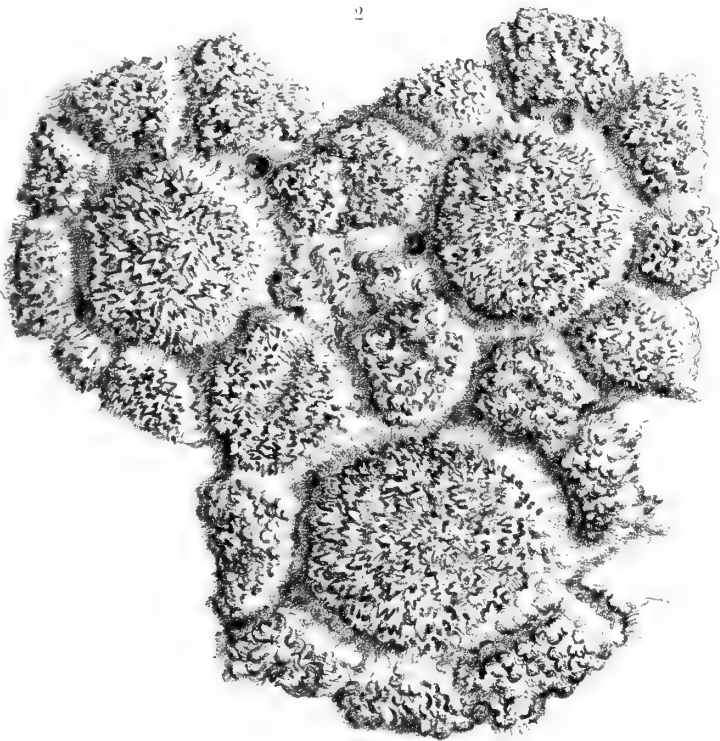
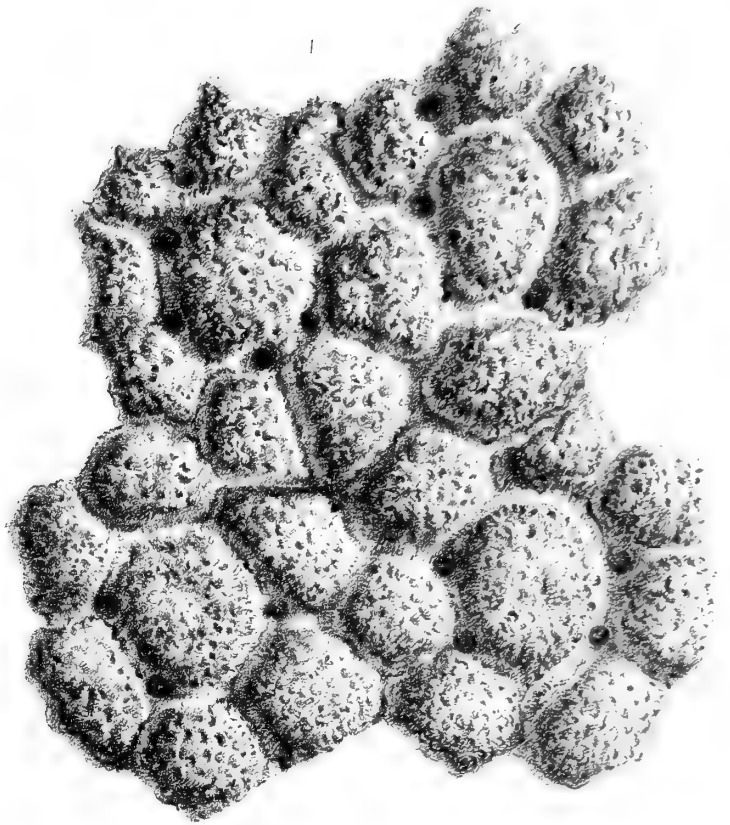
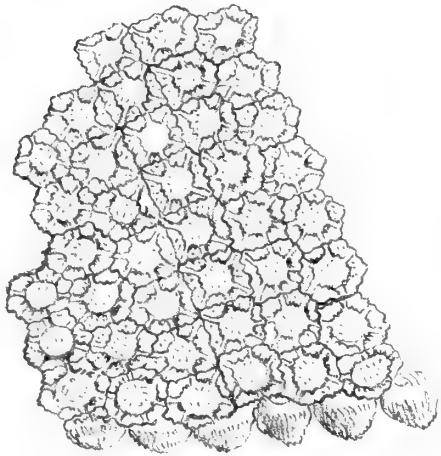
P. A. Schmitt del.

Imp. Lemercier, Paris

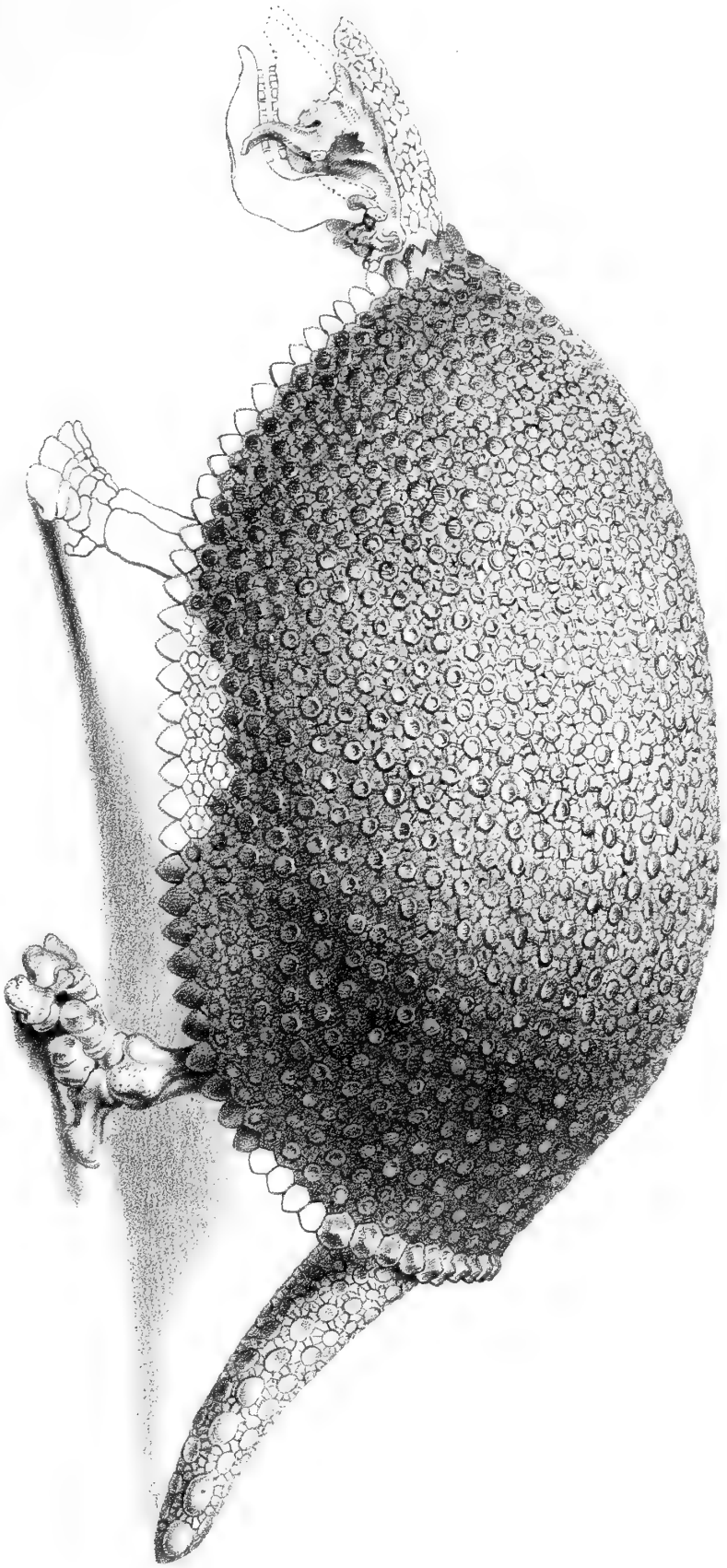




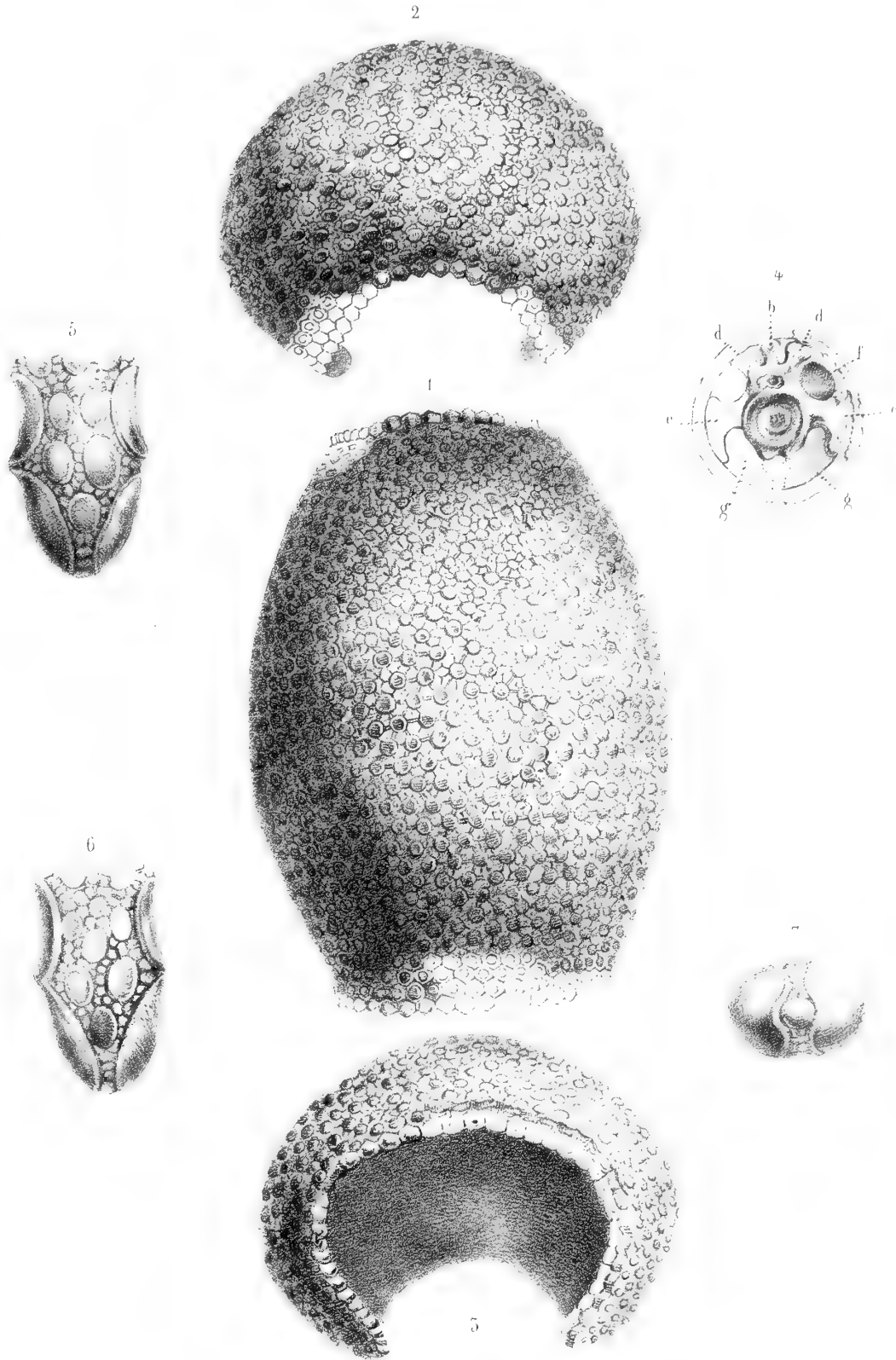




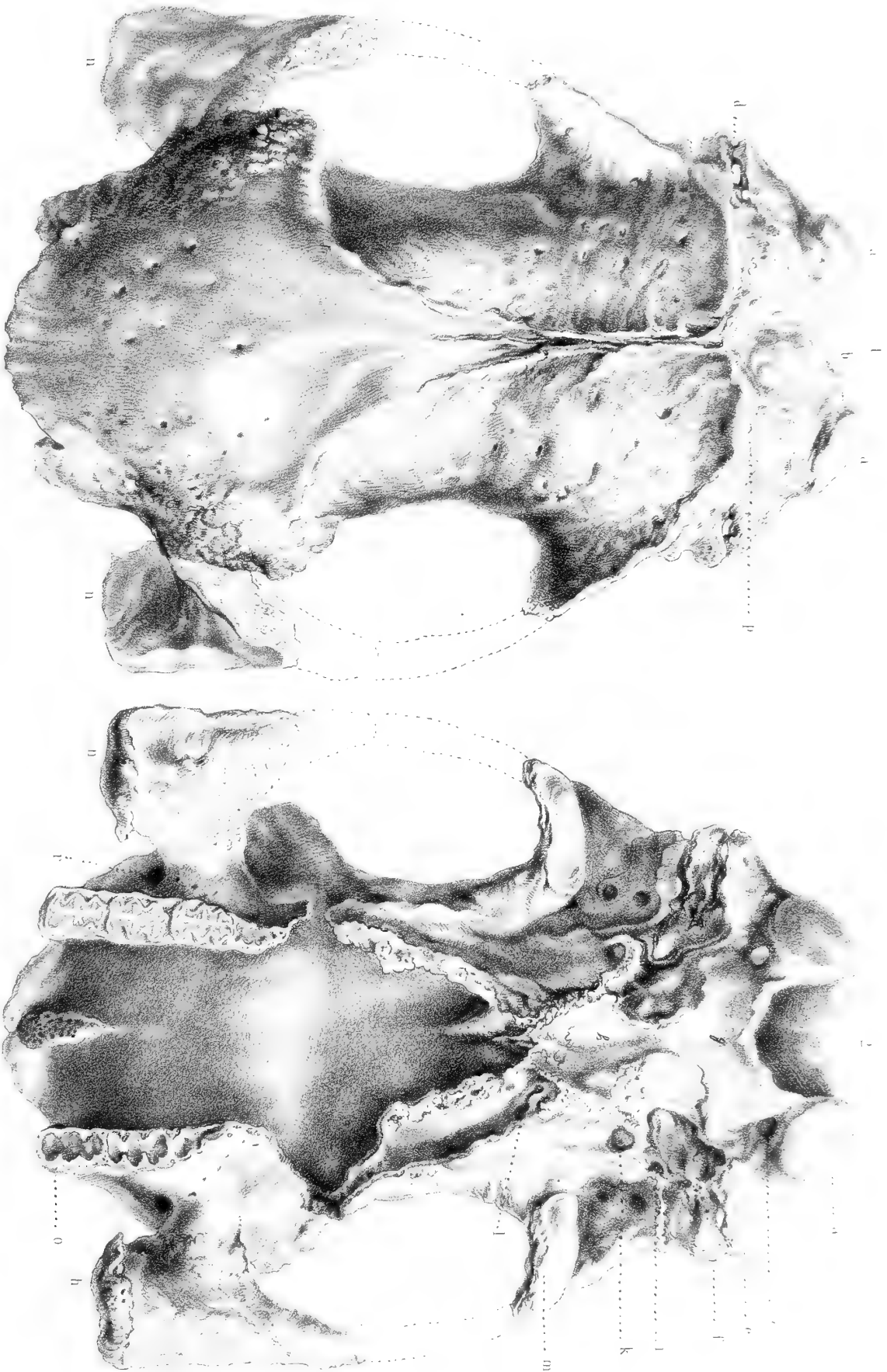


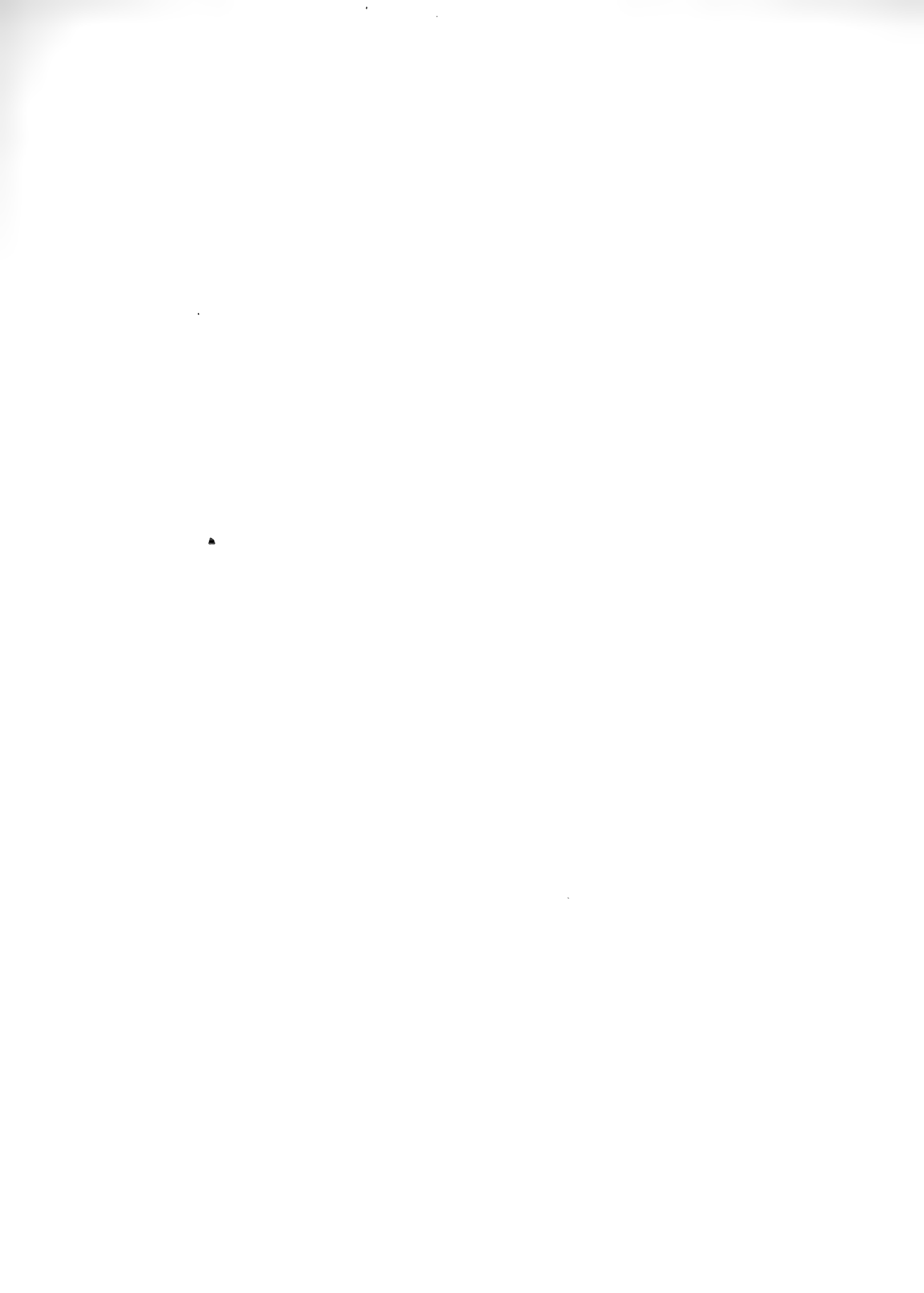


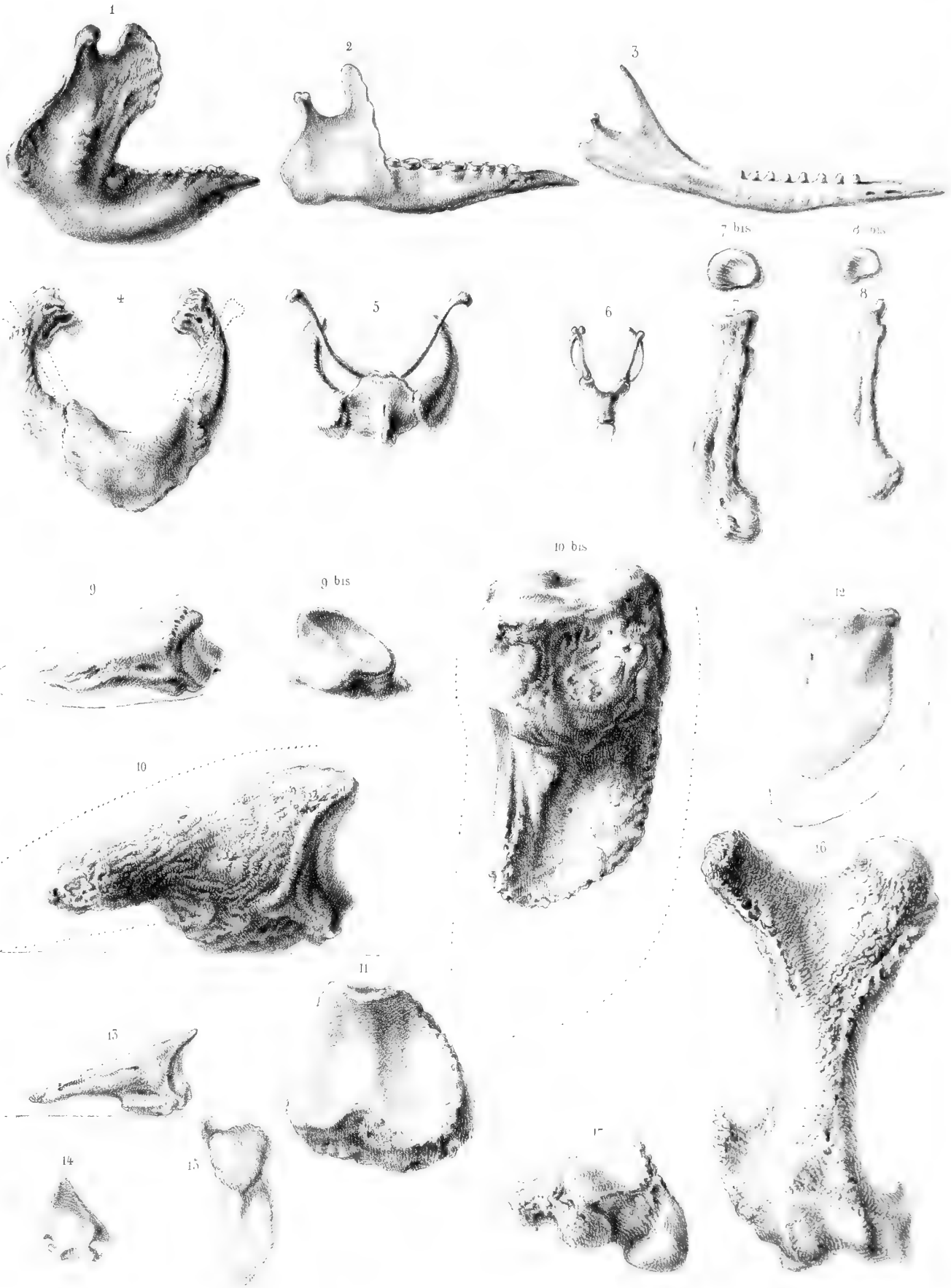




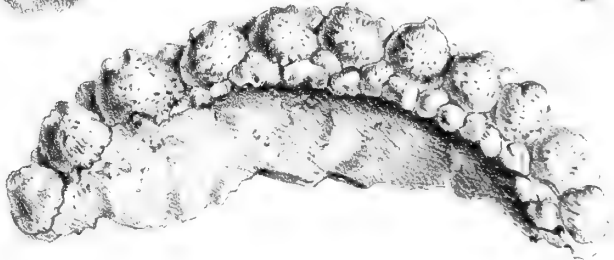
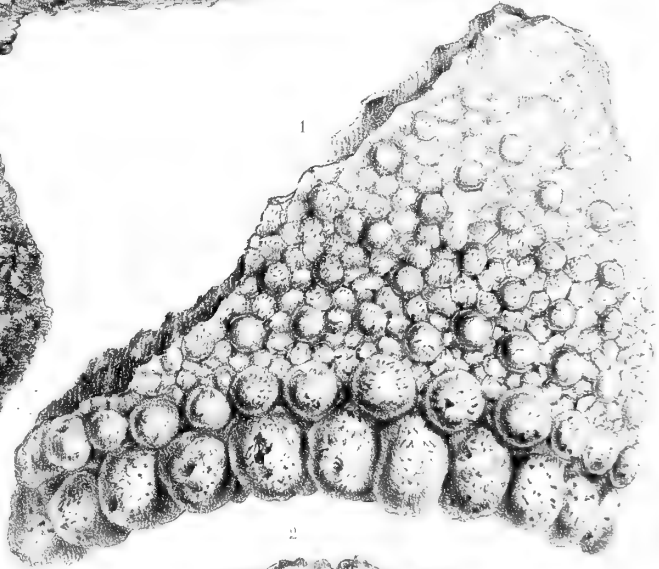
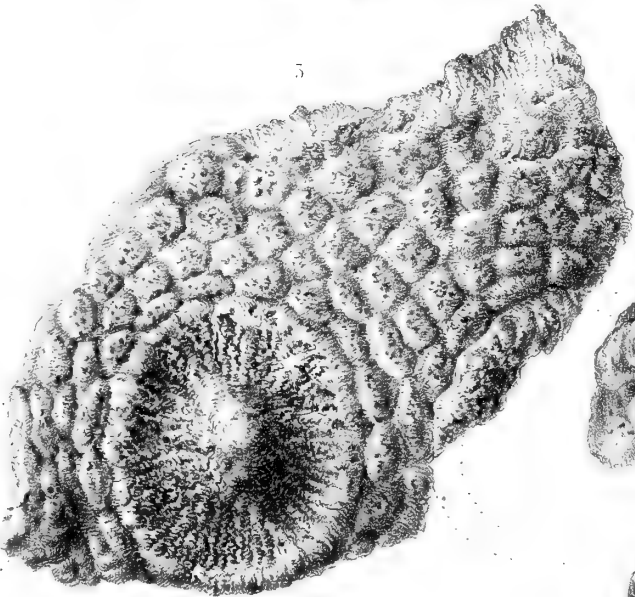
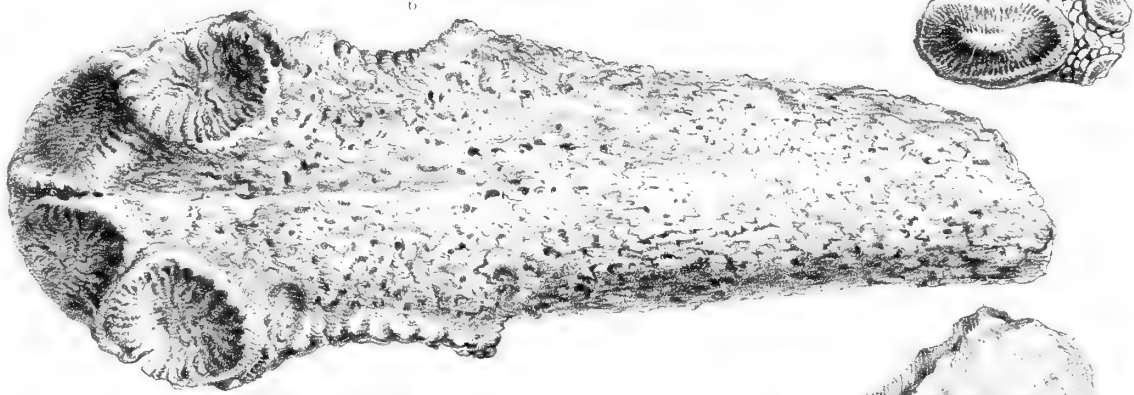
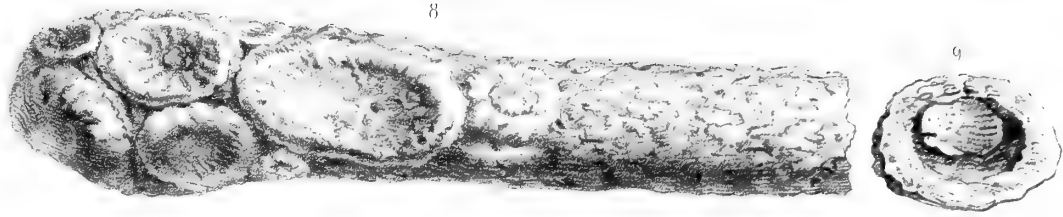




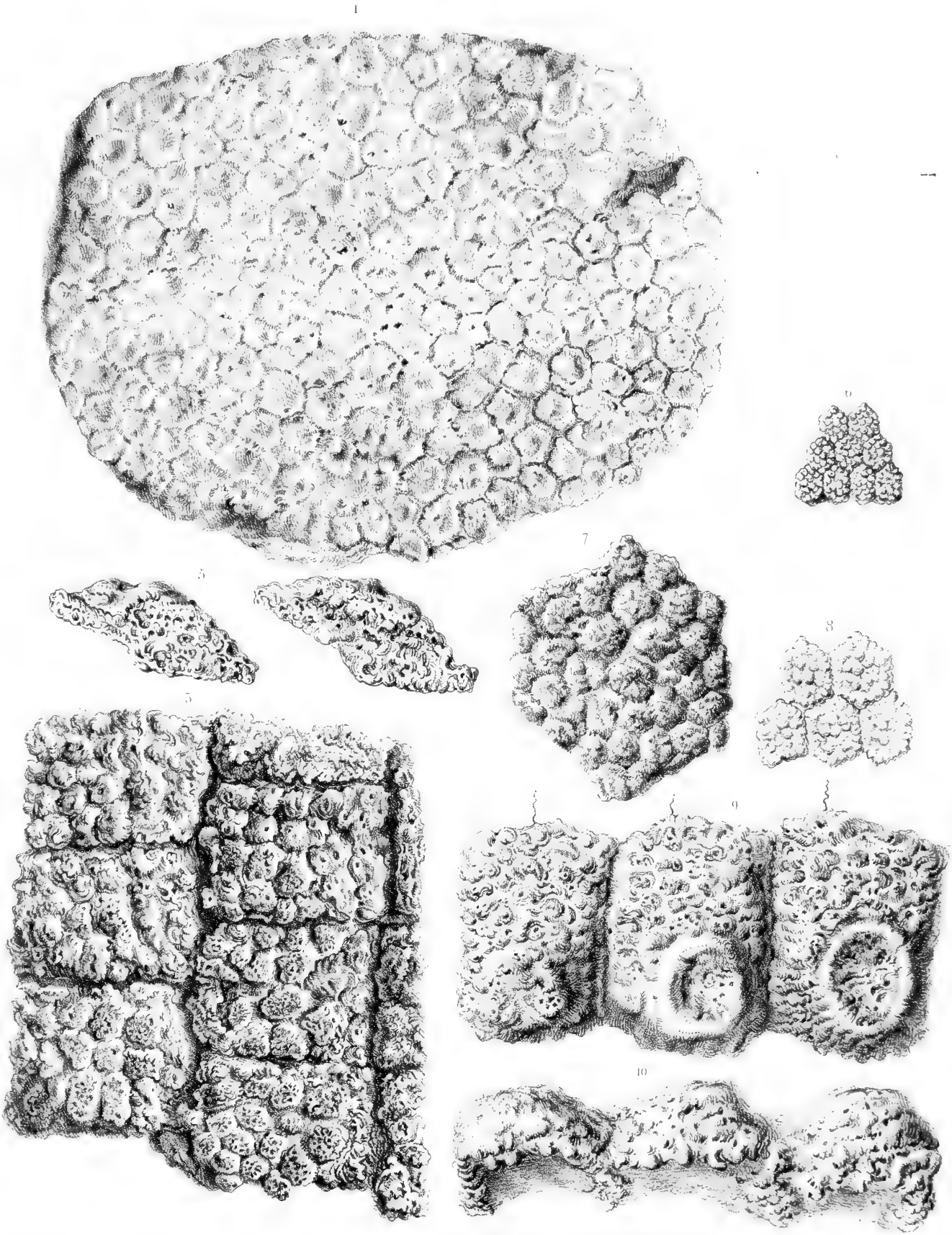


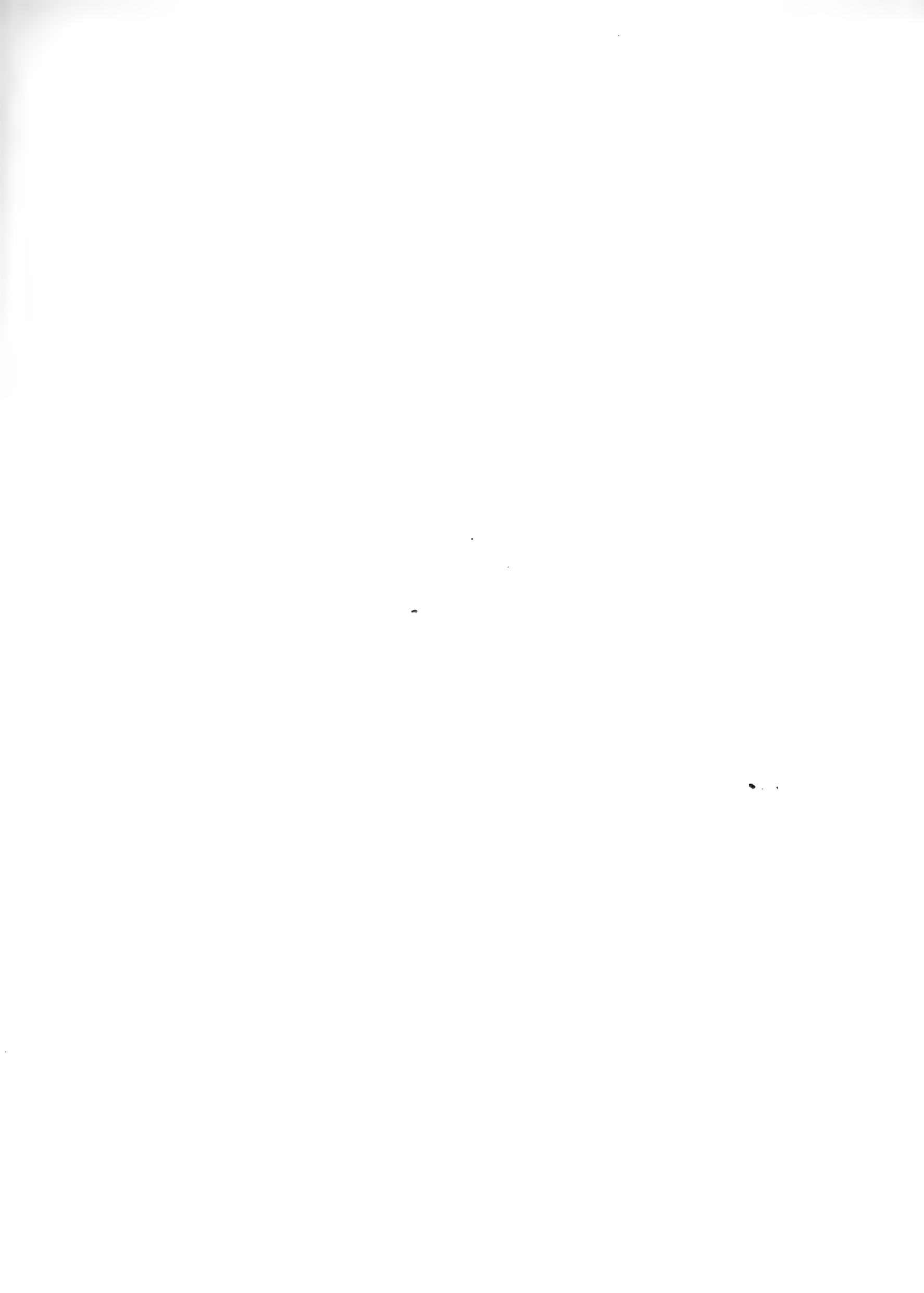


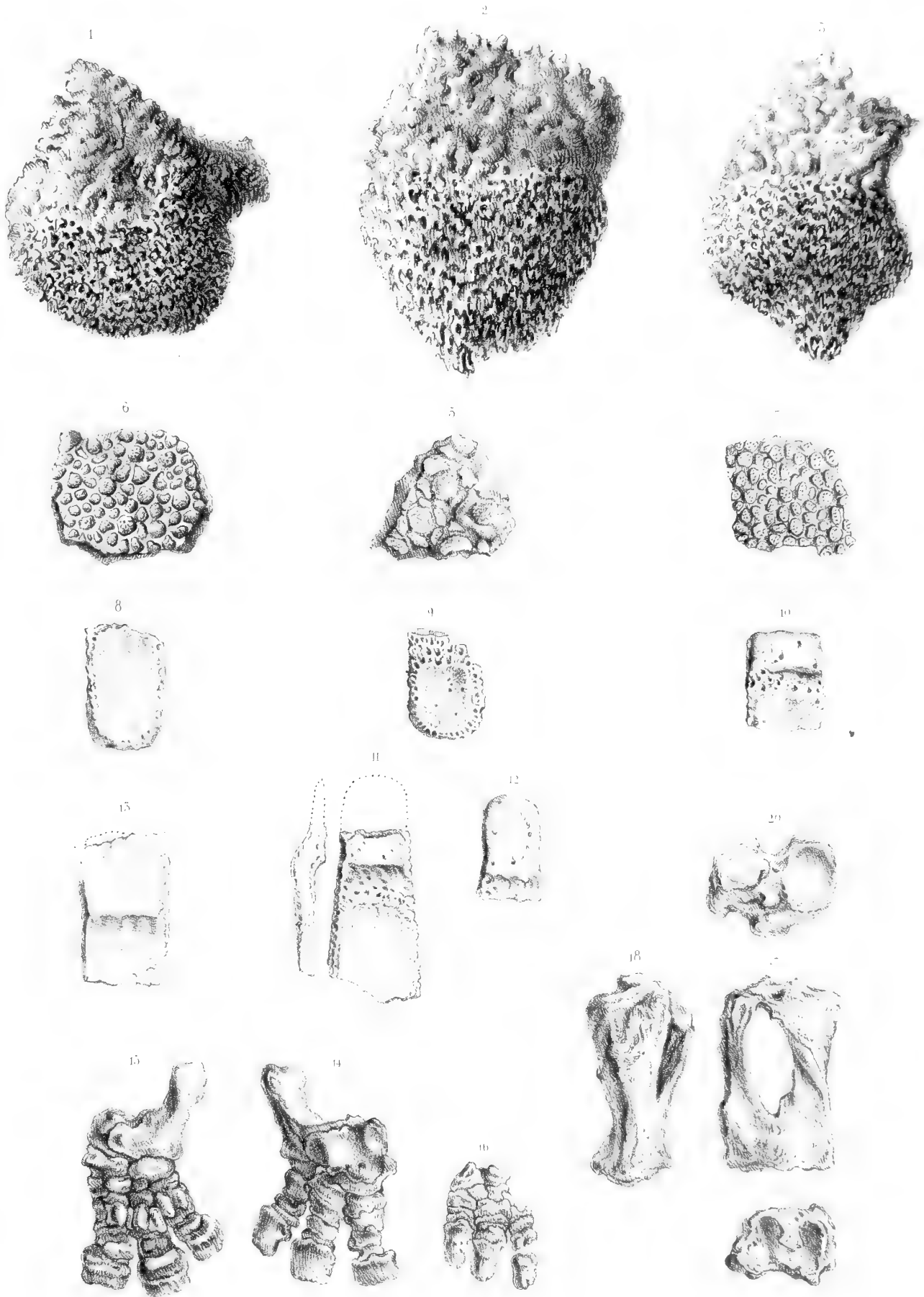




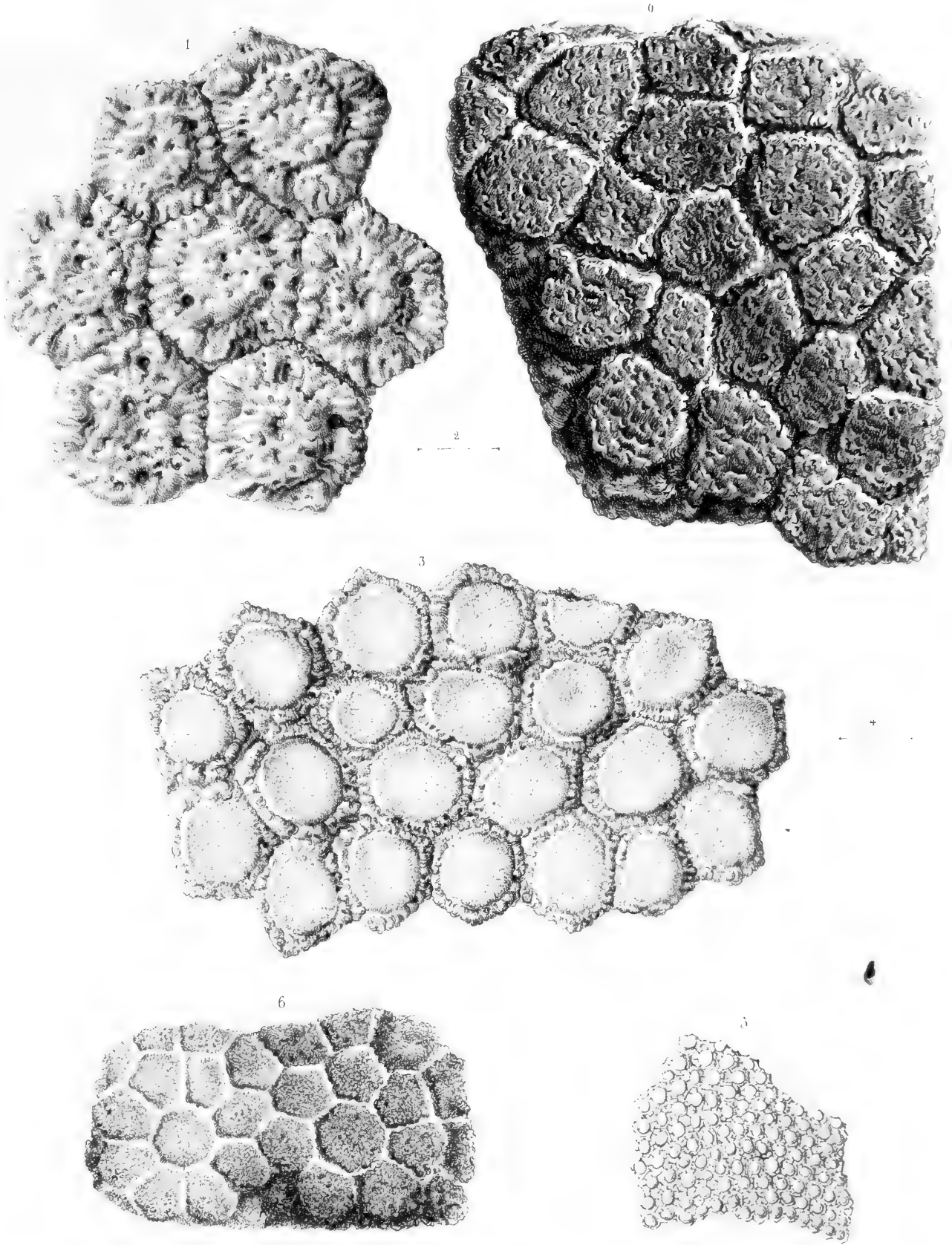




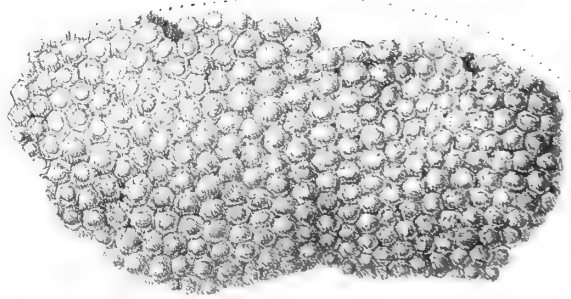
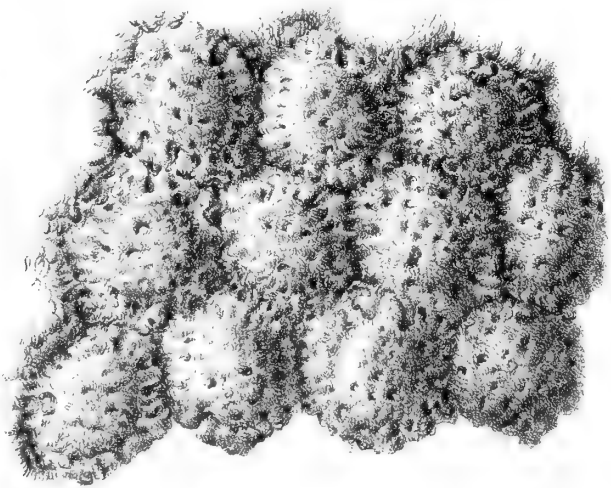
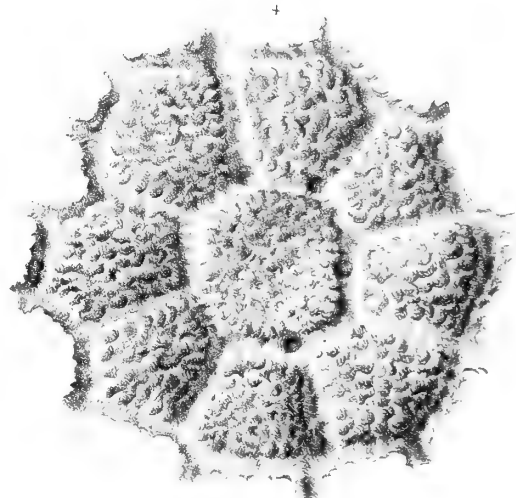
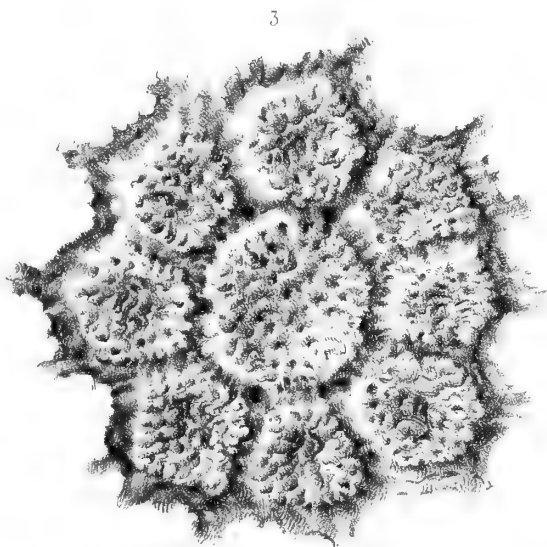
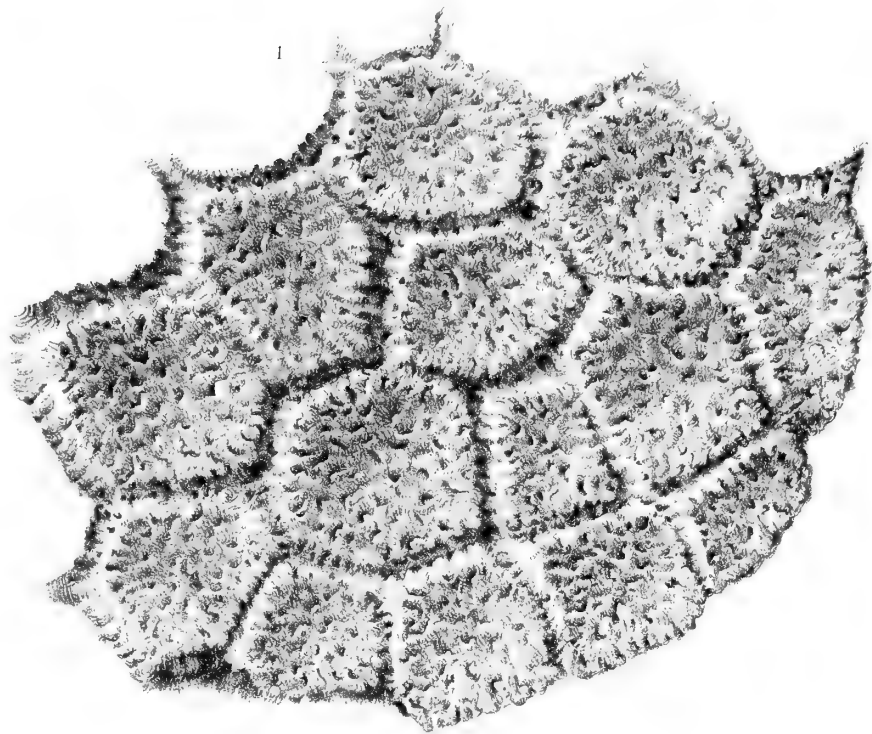


















MCZ ERNST MAYR LIBRARY  
  
3 2044 128 408 325

